

# 郑州 EAS 观测阵列的设计和初期运行

孙洛瑞 郭正元 赵书俊 岳学东

(郑州大学物理系 郑州 450052)

## 摘要

本文报道郑州宇宙线观测阵列的设计和初期运行情况。该阵列的探测面积为  $30m \times 30m$ , 有八个闪烁计数器, 控制运行采用国际标准的 CAMAC 系统。它可以对次级总粒子数为  $4 \times 10^4$  到  $8 \times 10^6$  的宇宙线广延大气簇射现象自动地进行连续观测。

## 一、引言

超高能宇宙线的流强很低, 而且随着能量的升高迅速下降, 加之宇宙线入射到地球的时间又是随机性的, 所以, 对超高能宇宙线的探测就非常困难。但是, 超高能宇宙线进入地球的大气层后, 与大气顶层的原子核发生作用形成级联簇射。簇射生成的次级粒子, 分布在一个形状类似于凹透镜的圆盘内, 以接近于光速的速度向地面移动。在海平面附近, 簇射次级粒子的分布半径可达数百米乃至若干公里。这种现象称为宇宙线广延大气簇射 (EAS)。利用这一现象, 可以在地球表面使用多个探测器布置成一个阵列, 通过获取 EAS 事例的一些参数, 有效地探测超高能宇宙线, 研究与之相关的高能物理和天体物理问题。

郑州大学宇宙线研究组在校园内(北纬  $34^{\circ}44'$ , 东经  $113^{\circ}17'$ , 海拔高度约 100m)建造了一个小型宇宙线观测阵列, 其设计目的除了前述内容外, 还要以此为基础, 探索研制新型探测器和廉价阵列的方法。该阵列已于 1990 年 11 月开始正式运转, 它能长时间、连续灵敏地探测簇射总粒子数大于  $4 \times 10^4$  的 EAS 事例。到 1992 年 3 月底, 一共记录到 10 万多个事例。本文介绍阵列的设计及初期运行的情况。

## 二、阵列的粒子探测系统

郑州阵列的粒子探测系统由八个闪烁计数器组成。四个快速时间探测器安装在一个  $30m \times 30m$  的正方形顶点上, 四个触发计数器安装在一个  $4m \times 4m$  的正方形顶点上(图 1)。两个正方形的中心相近而不重合。八个闪烁计数器都兼作粒子密度探测器, 它们被安装于同一个水平面内(绝对误差不大于 5cm)。 $30m \times 30m$  的探测器布局, 是验证 Linsley

效应的“标准”面积<sup>[1]</sup>. 这将为今后开展这方面的研究工作打下一定的基础.

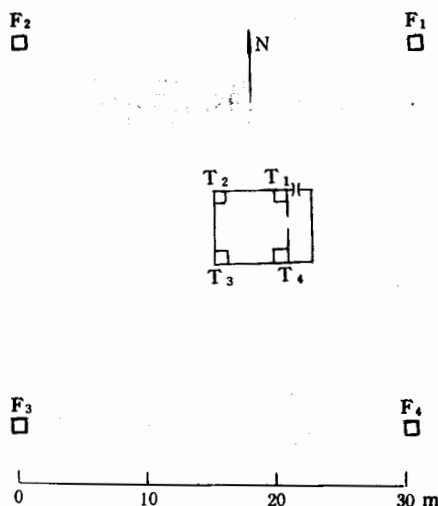


图1 郑州宇宙线观测阵列布局图  
T<sub>1</sub>—T<sub>4</sub> 为触发计数器, F<sub>1</sub>—F<sub>4</sub> 为快速时间  
探测器

闪烁计数器的光导箱用 2mm 厚的黑铁皮制成, 外形为正四棱锥形, 采用空气光导. 箱内壁涂有白色漫反射涂料, 以提高光收集效率. 所用闪烁体的外形尺寸为 50cm × 50cm × 5cm, 其五面被涂上漫反射涂料, 未涂的一面是一个最大面积的抛光面, 它在安装时水平向下. 闪烁体下方 50cm 处是光电倍增管(GDB-50L型).

闪烁计数器输出的电脉冲, 经由快速响应和低衰减的同轴电缆, 送往电子学记录系统. 阵列的记录控制系统与触发计数器都安装在中心控制室内. 来自闪烁计数器的信号经过劈裂器, 被分成两个相同的信号, 分别经过高增益和低增益通道而被记录. 两个通道的增益之比为 40 : 1. 在粒子密度不太大的情况下, 采用高增益通道的信号以提高探测器的灵敏度. 当高增益通道达到饱和时, 改用低增益信号, 从而扩大了探测器的动态范围.

为了将闪烁计数器输出的脉冲信号转换成数字量(粒子数), 需要对它们进行定标. 把探测器的记录系统置于“单符合”状态, 其输出信号幅度的分布曲线有一个峰状突起, 称为单粒子峰, 它与单个粒子在闪烁体内的电离损失相对应. 峰的宽度由多方面的因素决定, 诸如入射粒子的天顶角分布、到达光电倍增管光阴极的光子数涨落、粒子在闪烁体内能量损失的涨落等. 为了减小粒子入射角不同造成的误差, 又采用了计数管望远镜做双重符合计数, 以选取接近垂直入射的  $\mu$  子来进行定标. 对于每一个闪烁计数器分别做出这两种曲线, 求出它们的单粒子峰道数之比. 在计算簇射的有关参数时, 以双重符合的定标值为基准. 而在进行定期校核时, 使用“单符合”的分布曲线, 更为简便易行.

### 三、数据的采集与处理

实验过程的控制和数据的采集, 使用国际标准的电子计算机自动测量与控制系统(CAMAC)来实现. 整个系统的方框图如图2所示. 快速时间探测器输出的脉冲信号, 除了被送往 ADC 转换为粒子数外, 同时还被送往 TDC 测量各探测器接收到粒子的相对时间, 用以推算初级宇宙线入射的方向. 触发计数器的信号有一部分被送往符合电路. 符合电路被置于三重符合状态, 它的输出脉冲用于启动记录系统, 开始以下的分析过程:

1. 对触发阵列的事例进行初步判选. 计算机首先由 ADC 读入八个探测器所探测到的簇射粒子数, 只有当四个快速时间探测器中至少有三个接收到的粒子密度  $\rho > 2/m^2$  时, 事例才被分析. 否则, 中止分析过程, 系统返回初始状态. 约有 22% 的事例满足这一条件而被进一步分析.
2. 计算初级宇宙线的入射方向. 应用最小二乘法对快速时间探测器所接收到的簇射

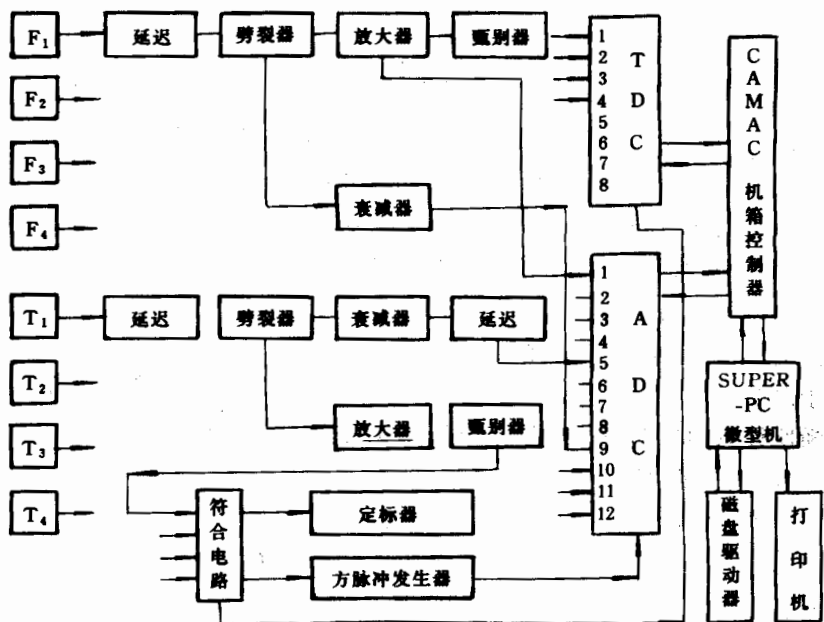


图2 计录控制系统的方框图

次级粒子进行共面拟合,求得初级宇宙线入射的天顶角  $\theta$  和方位角  $\varphi$ . 设第  $i$  个探测器的位置坐标为  $(x_i, y_i)$ , 它接收到次级粒子的时间为  $t_i$ , 则计算可得:

$$\varphi = \arctan\left(\frac{m}{l}\right), \quad (1)$$

$$\theta = \arccos \sqrt{1 - m^2 - l^2}, \quad (2)$$

其中,

$$l = c \cdot (A \cdot E - C \cdot D) / (A^2 - B \cdot C),$$

$$m = c \cdot (A \cdot D - B \cdot E) / (A^2 - B \cdot C).$$

上式中,  $c$  为光速, 其它字母的意义为:

$$A = \sum (x_i \cdot y_i) - \sum x_i \cdot \sum y_i,$$

$$B = \sum x_i^2 - (\sum x_i)^2,$$

$$C = \sum y_i^2 - (\sum y_i)^2,$$

$$D = \sum (x_i \cdot t_i) - \sum x_i \cdot \sum t_i,$$

$$E = \sum (y_i \cdot t_i) - \sum y_i \cdot \sum t_i.$$

根据求得的  $\theta$  和  $\varphi$  值, 结合事例发生的时间, 可以计算出宇宙线入射方向所对应的赤经  $\alpha$  和赤纬  $\delta$ .

3. 用最大似然法估计簇射次级总粒子数  $N$  和中心位置  $(x_0, y_0)$ . 由于阵列的面积比较小, 我们又只对簇射中心落于阵列内部的事例感兴趣, 所以, 可以假定距簇射中心为  $r$

处的一点的次级粒子密度为<sup>[2]</sup>:

$$\rho = \frac{N}{2\pi} \cdot \frac{\exp(-r/R)}{R(r+1)}, \quad (3)$$

式中  $R=80m$ , 为一常数. 在簇射次级粒子分布平面内任选一点  $(x, y)$ , 连同它周围的八个点组成一个网格. 对于任意给定的  $N$  值, 以网格中的每一点作为簇射中心, 根据式(3)可以求出各个探测器接收粒子数的期待值以及相应的似然函数值. 调整  $N$  的数值, 直到似然函数达到极大. 如果求出的九个似然函数中最大的一个不对应于网格的中心, 则以最大似然函数所对应的点为中心再做一个  $3 \times 3$  的网格, 重复前面的计算, 直到最大似然函数落在中心点为止. 这个中心点在探测平面内的投影  $(x_0, y_0)$  即为簇射的中心, 相应的  $N$  值为次级粒子总数.

4. 判断所计算的事例是否符合记录要求. 用于判断的条件有两个:

- (1) 簇射次级粒子总数  $N \geq 4 \times 10^4$ ;
- (2) 簇射中心  $(x_0, y_0)$  处于前述探测器安装的大正方形内.

同时满足这两个条件的事例才被视为有效, 其参数被存入磁盘, 以供离线分析使用. 部分参数被打印出来, 便于对阵列运转的情况进行了解. 若前述两个条件中的任一个不被满足, 该事例即被淘汰.

进行一次完整的事例分析, 平均需时 5.6 秒钟. 在分析过程中, 计算机每隔 1 秒向记录系统查询一次, 如果有新的事例发生, 则将原始数据读入内存留待处理. 由此可见, 探测系统的死时间小于 1 秒. 触发阵列的事例约 6 分钟出现一次, 因而可以认为阵列对于所探测的事例是连续灵敏的.

#### 四、阵列运行获得的初步结果

郑州宇宙线观测阵列于 1990 年 11 月 19 日正式投入运转, 到 1992 年 3 月底, 共记录到 10 万多个次级总粒子数大于  $4 \times 10^4$  的簇射事例. 对于这些事例进行初步分析, 得到了以下结果:

##### 1. 初级宇宙线入射的角分布

入射事例数对天顶角  $\theta$  的微分分布可以表示为下式:

$$Z(\theta)d\theta = k \cdot \cos^n\theta \cdot \sin\theta d\theta, \quad (4)$$

式中常数  $k = 3370, n = 9.5$ . 事例数随入射方位角的分布表明, 从各个方位角入射的几率差不多是相等的.

用“虚关闭”法对入射方向的测量误差进行了估算. 在大部分的有效事例中, 四个快速时间探测器都接收到次级粒子并给出有效的相对时间值, 据此可以计算出  $\theta$  和  $\varphi$ . 然后人为地假定在事例到达时有一个探测器被关闭(称为虚关闭), 只用其余三个探测器计算出另一组入射方向的角度  $\theta'$  和  $\varphi'$ , 并以  $\Delta\theta = \theta - \theta'$  和  $\Delta\varphi = \varphi - \varphi'$  分别表示  $\theta$  和  $\varphi$  的偏差. 对于大量事例, 求出  $\Delta\theta$  和  $\Delta\varphi$  的分布, 得出  $\theta$  和  $\varphi$  的标准误差, 结果列于表 1 和表 2 中.

表 1 入射天顶角  $\theta$  分布表

$\theta(^{\circ})$	0—5	5—10	10—15	15—20	20—25	25—30	30—35	35—40	40—45	45—60
$\sigma(\theta)$	2.12	2.12	2.34	2.34	2.54	2.54	2.80	2.80	3.46	3.55
事例数	1992	5291	7247	7692	7008	5891	4427	2722	1385	1101

表 2 入射方位角  $\varphi$  分布表

$\varphi(^{\circ})$	0—45	45—90	90—135	135—180	180—225	225—270	270—315	315—360
$\sigma(\varphi)$	4.5	4.5	4.5	4.5	4.5	4.5	4.5	4.5
事例数	4615	4472	4552	4630	4940	4622	5130	4822

## 2. 初级宇宙线的次级总粒子数谱

为了对郑州阵列的设计和运行情况进一步检验, 还根据一年多来所获取的数据, 做出

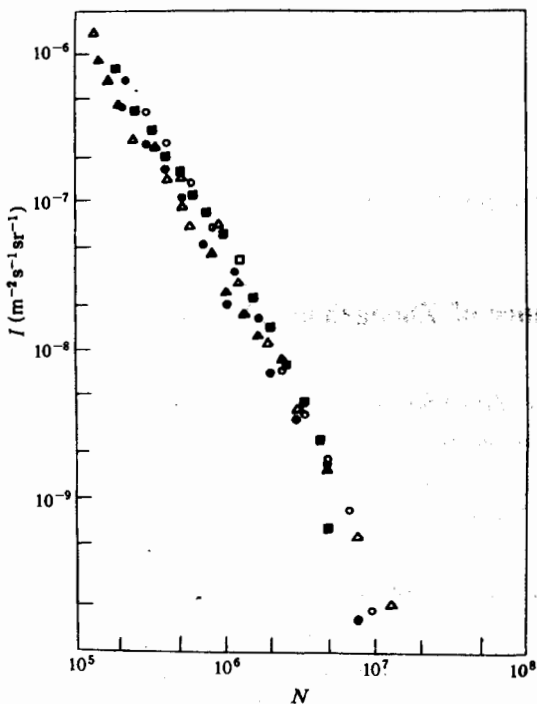


图 3 积分粒子数谱

图中所示实验数据分别来自于: ■——本实验, ▲——Sydney [3], ○——Buckland Park [4], △——Catz 等 [5], ●——Ashton 等 [6].

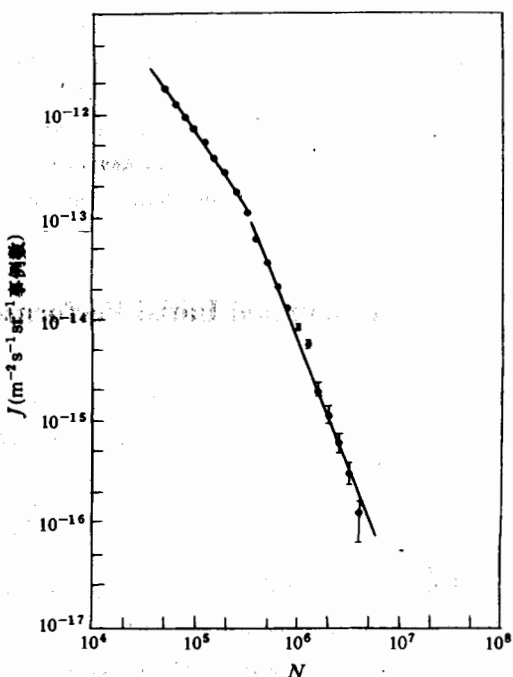


图 4 微分粒子数谱

了积分粒子数谱(图 3)和微分粒子数谱(图 4). 在进行数据处理前, 利用 Monte Carlo 模拟计算, 确定中心落于  $30\text{m} \times 30\text{m}$  的探测面内、次级总粒子数不同的各种簇射对本阵列的触发几率. 为了避免由于探测效率太低而引起的较大误差, 只选用那些对阵列的触发效率接近于 100% 的事例. 所选事例的次级总粒子数为  $4 \times 10^4 - 8 \times 10^6$ . 接近于所选下限的

事例,其触发效率略低,按照模拟计算的结果,对它们进行了适当的补偿.在计算过程中,还根据文献[7]的工作结果,对闪烁计数器的转换效率进行了必要的修正.所选事例的入射天顶角都小于 $20^\circ$ ,这样做的目的是为了避免由于大角度入射而产生的较大误差.由图可以看出,本实验测得的积分流强与其他研究组的结果符合得相当好.在微分粒子数谱中,对应于粒子数 $3 \times 10^5$ 附近,谱的指数由-1.8改变为-2.8,这一拐点已经被许多研究组观测到.对拐点出现的原因也有过不少讨论<sup>[8,9]</sup>.

郑州宇宙线观测阵列,是在河南省科委和河南省教委的资助下建成的.郑州大学高能物理研究室的许多同志参加了一定的工作.物理系计算机房的同志在数据处理方面也给予过不少帮助.作者在此一并向他们表示感谢.

### 参 考 文 献

- [1] J. Linsley, Univ. New Mexico Research Note, UNML-61083.
- [2] G. W. Clark et al., *Phys. Rev.*, **122**(1961), 637.
- [3] L. Sun & M. M. Winn, *Nucl. Instr. & Meth.*, **223**(1984), 173.
- [4] P. C. Crouch et al., *Nucl. Instr. & Meth.*, **179**(1981), 467.
- [5] Ph. Catz et al., Proc. of 14th ICRC, **12**(1975), 4329.
- [6] F. Ashton et al., Proc. of 16th ICRC, **13**(1979), 243.
- [7] S. Shibata et al., Proc. of 9th ICRC, **2**(1965), 672.
- [8] J. R. Prescott, *Proc. Phys. Soc.*, **A69**(1956), 870.
- [9] G. Khristiansen et al., *Cosmic Rays of Superhigh Energies*, Verlag Karl Thiemig, 1980, p148

### Design and Initial Performance of Zhengzhou EAS Array

SUN LUORUI GUO ZHENGYUAN ZHAO SHIJUN YUE XUEDONG

(Department of Physics, Zhengzhou University, Zhengzhou 450052)

#### ABSTRACT

This paper describes the design and initial operation of the Zhengzhou Air Shower Array. The array is composed of 8 scintillation counters and its detection area is about  $30m \times 30m$ . An international standard CAMAC system is employed to control the experiment. The measurement of cosmic ray showers with size range from  $4 \times 10^4$  to  $8 \times 10^6$  is performed continuously and automatically.